

# **Éléments finis spectraux en maillage hexaédrique pour l'équation de Helmholtz**

M. Duruflé, G. Cohen

INRIA Rocquencourt

## Problème modèle

$$-\omega^2 \frac{1}{\rho(x) c^2(x)} u(x) - \operatorname{div}\left(\frac{1}{\rho(x)} \nabla u(x)\right) = f(x) \quad x \in \Omega$$

# Problème modèle

$$-\omega^2 \frac{1}{\rho(x) c^2(x)} u(x) - \operatorname{div}\left(\frac{1}{\rho(x)} \nabla u(x)\right) = f(x) \quad x \in \Omega$$

$$u(x) = -u^{inc}(x) \quad x \in \Gamma$$

# Problème modèle

$$-\omega^2 \frac{1}{\rho(x) c^2(x)} u(x) - \operatorname{div}\left(\frac{1}{\rho(x)} \nabla u(x)\right) = f(x) \quad x \in \Omega$$

$$u(x) = -u^{inc}(x) \quad x \in \Gamma$$

$$\frac{\partial u}{\partial n}(x) - i\omega u(x) = 0 \quad x \in \Sigma$$

## Problème modèle

$$-\omega^2 \frac{1}{\rho(x) c^2(x)} u(x) - \operatorname{div}\left(\frac{1}{\rho(x)} \nabla u(x)\right) = f(x) \quad x \in \Omega$$

$$u(x) = -u^{inc}(x) \quad x \in \Gamma$$

$$\frac{\partial u}{\partial n}(x) - i\omega u(x) = 0 \quad x \in \Sigma$$

$u^{inc}(x) = \exp(ikx)$  : onde plane incidente

## Problème modèle

$$-\omega^2 \frac{1}{\rho(x) c^2(x)} u(x) - \operatorname{div}\left(\frac{1}{\rho(x)} \nabla u(x)\right) = f(x) \quad x \in \Omega$$

$$u(x) = -u^{inc}(x) \quad x \in \Gamma$$

$$\frac{\partial u}{\partial n}(x) - i\omega u(x) = 0 \quad x \in \Sigma$$

$u^{inc}(x) = \exp(ikx)$  : onde plane incidente

$c(x)$  : vitesse de propagation de l'onde

# Approximation

Maillage hexaédrique :  $\mathcal{M}_h = \bigcup_{j=1}^{N_e} K_j$

# Approximation

Maillage hexaédrique :  $\mathcal{M}_h = \bigcup_{j=1}^{N_e} K_j$

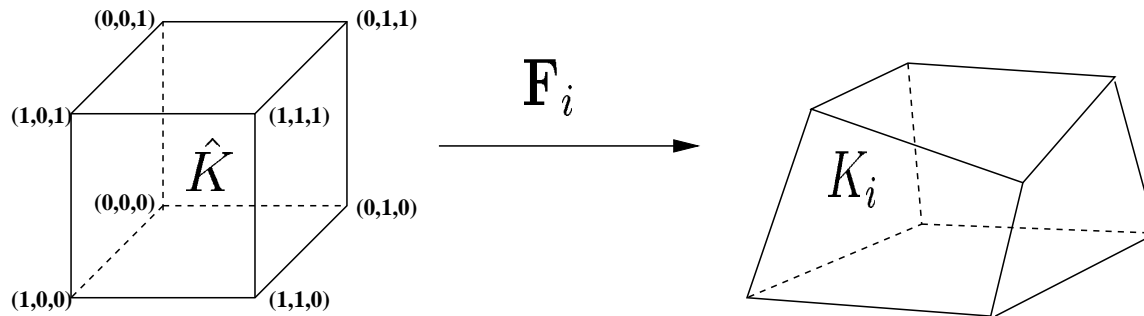
$\hat{K} = [0, 1]^3$ ,  $K_j$  : un hexaèdre  $j$



# Approximation

Maillage hexaédrique :  $\mathcal{M}_h = \bigcup_{j=1}^{N_e} K_j$

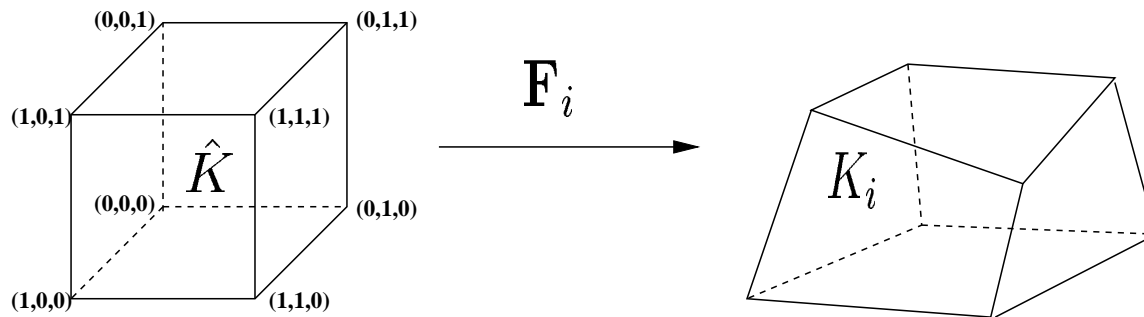
$\hat{K} = [0, 1]^3$ ,  $K_j$  : un hexaèdre  $j$



# Approximation

Maillage hexaédrique :  $\mathcal{M}_h = \bigcup_{j=1}^{N_e} K_j$

$\hat{K} = [0, 1]^3$ ,  $K_j$  : un hexaèdre  $j$

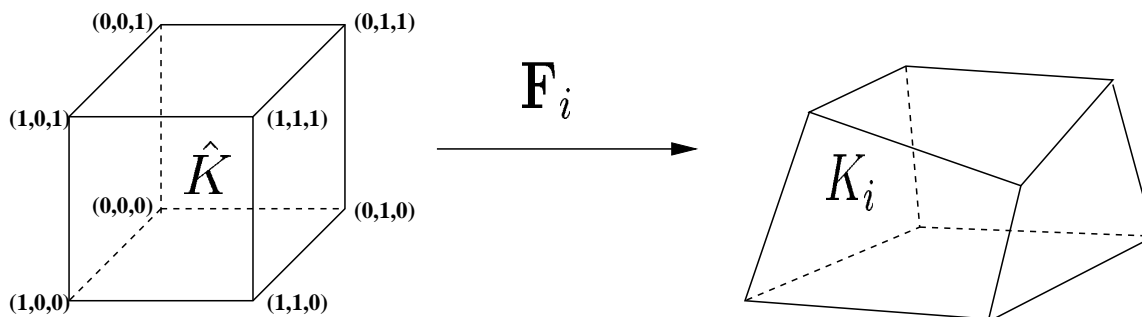


$DF_i$  est la matrice jacobienne de  $F_i$ ,  $J_i = \det DF_i$  .

# Approximation

Maillage hexaédrique :  $\mathcal{M}_h = \bigcup_{j=1}^{N_e} K_j$

$\hat{K} = [0, 1]^3$ ,  $K_j$  : un hexaèdre  $j$



$DF_i$  est la matrice jacobienne de  $F_i$ ,  $J_i = \det DF_i$ .

$Q_r$  est l'espace des polynômes en  $\hat{x} \in \hat{K}$  de degré inférieur ou égal à  $r$  en chaque variable.

# Équation discrète

$$(-\omega^2 D_h + K_h)U_h = F_h$$

# Équation discrète

$$(-\omega^2 D_h + K_h)U_h = F_h$$

$$(D_h)_{i,j} = \int_{\Omega} \varphi_i(x) \varphi_j(x) dx$$

# Équation discrète

$$(-\omega^2 D_h + K_h)U_h = F_h$$

$$(D_h)_{i,j} = \int_{\Omega} \varphi_i(x) \varphi_j(x) dx$$

$$(K_h)_{i,j} = \int_{\Omega} \nabla \varphi_i(x) \cdot \nabla \varphi_j(x) dx$$

# Équation discrète

$$(-\omega^2 D_h + K_h)U_h = F_h$$

$$(D_h)_{i,j} = \int_{\Omega} \varphi_i(x) \varphi_j(x) dx$$

$$(K_h)_{i,j} = \int_{\Omega} \nabla \varphi_i(x) \cdot \nabla \varphi_j(x) dx$$

$$(F_h)_i = \int_{\Omega} \varphi_i(x) f(x) dx$$

# Équation discrète

$$(-\omega^2 D_h + K_h)U_h = F_h$$

$$(D_h)_{i,j} = \int_{\Omega} \varphi_i(x) \varphi_j(x) dx$$

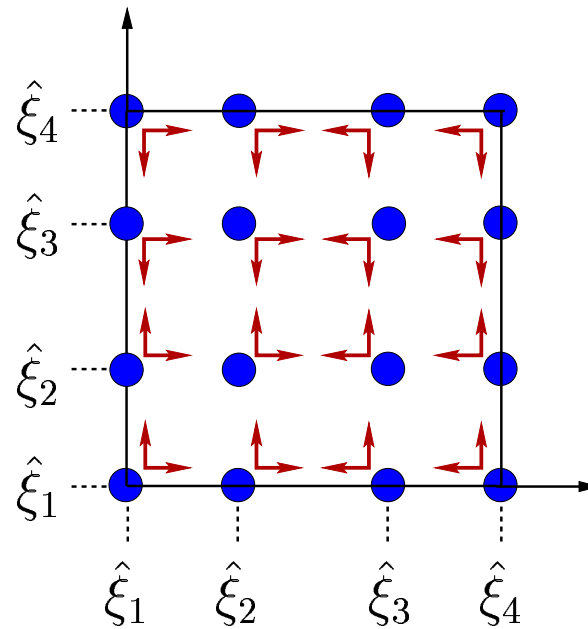
$$(K_h)_{i,j} = \int_{\Omega} \nabla \varphi_i(x) \cdot \nabla \varphi_j(x) dx$$

$$(F_h)_i = \int_{\Omega} \varphi_i(x) f(x) dx$$

$$u, \varphi \in U_h = \{v \in H_0^1(\Omega) \quad \text{tel que } v \circ F_i \in Q_r\}$$

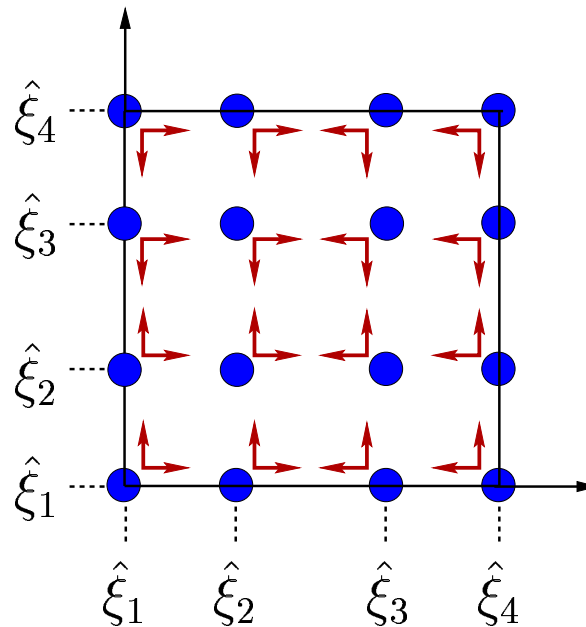


# Degrés de liberté



Degrés de liberté pour  $u$  (ronds) et  $\vec{v}$  (flèches)

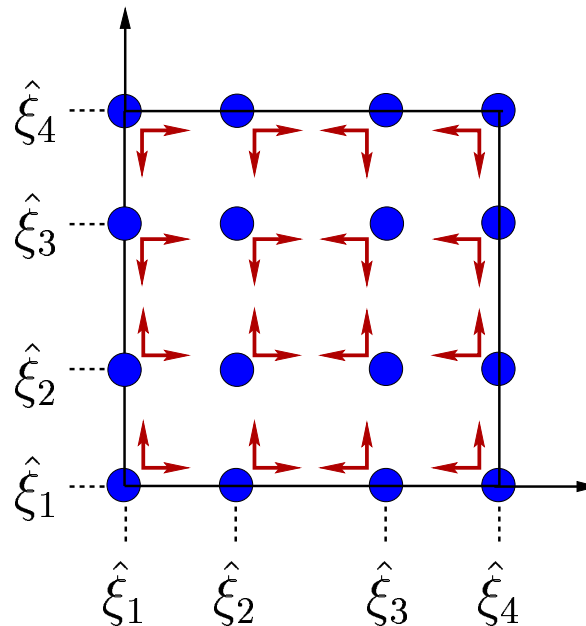
# Degrés de liberté



Degrés de liberté pour  $u$  (ronds) et  $\vec{v}$  (flèches)

Degrés de liberté et points de quadrature coincident sur les points de Gauss-Lobatto

# Degrés de liberté



Degrés de liberté pour  $u$  (ronds) et  $\vec{v}$  (flèches)

Degrés de liberté et points de quadrature coincident sur les points de **Gauss-Lobatto**

$\Rightarrow$  Condensation de masse (cf **P. Grob**),  $D_h$  matrice diagonale.

# Factorisation de la matrice de rigidité

$$K_h = R_h B_h^{-1} R_h^t$$

# Factorisation de la matrice de rigidité

$$K_h = R_h B_h^{-1} R_h^t$$

$$(R_h)_{i,j} = \int_{\hat{K}} \hat{\nabla} \hat{\varphi}_i(\hat{x}) \cdot \vec{\hat{\psi}}_j d\hat{x}$$

# Factorisation de la matrice de rigidité

$$K_h = R_h B_h^{-1} R_h^t$$

$$(R_h)_{i,j} = \int_{\hat{K}} \hat{\nabla} \hat{\varphi}_i(\hat{x}) \cdot \vec{\hat{\psi}}_j d\hat{x}$$

$$(B_h)_{i,j} = \int_{\hat{K}} \frac{1}{J_e} DF_e^t DF_e \vec{\hat{\psi}}_i \cdot \vec{\hat{\psi}}_j d\hat{x}$$

# Factorisation de la matrice de rigidité

$$K_h = R_h B_h^{-1} R_h^t$$

$$(R_h)_{i,j} = \int_{\hat{K}} \hat{\nabla} \hat{\varphi}_i(\hat{x}) \cdot \vec{\hat{\psi}}_j d\hat{x}$$

$$(B_h)_{i,j} = \int_{\hat{K}} \frac{1}{J_e} DF_e^t DF_e \vec{\hat{\psi}}_i \cdot \vec{\hat{\psi}}_j d\hat{x}$$

- S'obtient à l'aide d'une formulation mixte (cf [P. Grob](#) )

# Factorisation de la matrice de rigidité

$$K_h = R_h B_h^{-1} R_h^t$$

$$(R_h)_{i,j} = \int_{\hat{K}} \hat{\nabla} \hat{\varphi}_i(\hat{x}) \cdot \vec{\hat{\psi}}_j d\hat{x}$$

$$(B_h)_{i,j} = \int_{\hat{K}} \frac{1}{J_e} DF_e^t DF_e \vec{\hat{\psi}}_i \cdot \vec{\hat{\psi}}_j d\hat{x}$$

- S'obtient à l'aide d'une formulation mixte (cf [P. Grob](#) )
- $B_h$  diagonale par blocs 3x3.



# Factorisation de la matrice de rigidité

$$K_h = R_h B_h^{-1} R_h^t$$

$$(R_h)_{i,j} = \int_{\hat{K}} \hat{\nabla} \hat{\varphi}_i(\hat{x}) \cdot \vec{\hat{\psi}}_j d\hat{x}$$

$$(B_h)_{i,j} = \int_{\hat{K}} \frac{1}{J_e} DF_e^t DF_e \vec{\hat{\psi}}_i \cdot \vec{\hat{\psi}}_j d\hat{x}$$

- S'obtient à l'aide d'une formulation mixte (cf [P. Grob](#) )
- $B_h$  diagonale par blocs 3x3.
- Matrice élémentaire de  $R_h$  indépendante de la géométrie

# Factorisation de la matrice de rigidité

$$K_h = R_h B_h^{-1} R_h^t$$

$$(R_h)_{i,j} = \int_{\hat{K}} \hat{\nabla} \hat{\varphi}_i(\hat{x}) \cdot \vec{\hat{\psi}}_j d\hat{x}$$

$$(B_h)_{i,j} = \int_{\hat{K}} \frac{1}{J_e} DF_e^t DF_e \vec{\hat{\psi}}_i \cdot \vec{\hat{\psi}}_j d\hat{x}$$

- S'obtient à l'aide d'une formulation mixte (cf [P. Grob](#) )
- $B_h$  diagonale par blocs 3x3.
- Matrice élémentaire de  $R_h$  indépendante de la géométrie
- Stockage optimal

# Caractère creux de la matrice de rigidité élémentaire

Tensorisation d'ordre 3 des fonctions de base

# Caractère creux de la matrice de rigidité élémentaire

Tensorisation d'ordre 3 des fonctions de base

$$\hat{\varphi}_i(\hat{x}) = \hat{\varphi}_{i_1}(\hat{x}) \hat{\varphi}_{i_2}(\hat{y}) \hat{\varphi}_{i_3}(\hat{z}) \quad \vec{\hat{\psi}}_j(\hat{x}) = \hat{\varphi}_{j_1}(\hat{x}) \hat{\varphi}_{j_2}(\hat{y}) \hat{\varphi}_{j_3}(\hat{z}) \vec{e}_1$$

# Caractère creux de la matrice de rigidité élémentaire

Tensorisation d'ordre 3 des fonctions de base

$$\hat{\varphi}_i(\hat{x}) = \hat{\varphi}_{i_1}(\hat{x}) \hat{\varphi}_{i_2}(\hat{y}) \hat{\varphi}_{i_3}(\hat{z}) \quad \vec{\hat{\psi}}_j(\hat{x}) = \hat{\varphi}_{j_1}(\hat{x}) \hat{\varphi}_{j_2}(\hat{y}) \hat{\varphi}_{j_3}(\hat{z}) \vec{e}_1$$

$$(R_h)_{i,j} = \omega_j \hat{\varphi}'_{i_1}(\hat{\xi}_{j_1}) \delta_{i_2,j_2} \delta_{i_3,j_3}$$

# Caractère creux de la matrice de rigidité élémentaire

Tensorisation d'ordre 3 des fonctions de base

$$\hat{\varphi}_i(\hat{x}) = \hat{\varphi}_{i_1}(\hat{x}) \hat{\varphi}_{i_2}(\hat{y}) \hat{\varphi}_{i_3}(\hat{z}) \quad \vec{\hat{\psi}}_j(\hat{x}) = \hat{\varphi}_{j_1}(\hat{x}) \hat{\varphi}_{j_2}(\hat{y}) \hat{\varphi}_{j_3}(\hat{z}) \vec{e}_1$$

$$(R_h)_{i,j} = \omega_j \hat{\varphi}'_{i_1}(\hat{\xi}_{j_1}) \delta_{i_2,j_2} \delta_{i_3,j_3}$$

- Présence de  $\delta_{i_2,j_2} \delta_{i_3,j_3} \Rightarrow$  matrice élémentaire de  $R_h$  creuse.

# Caractère creux de la matrice de rigidité élémentaire

Tensorisation d'ordre 3 des fonctions de base

$$\hat{\varphi}_i(\hat{x}) = \hat{\varphi}_{i_1}(\hat{x}) \hat{\varphi}_{i_2}(\hat{y}) \hat{\varphi}_{i_3}(\hat{z}) \quad \vec{\hat{\psi}}_j(\hat{x}) = \hat{\varphi}_{j_1}(\hat{x}) \hat{\varphi}_{j_2}(\hat{y}) \hat{\varphi}_{j_3}(\hat{z}) \vec{e}_1$$

$$(R_h)_{i,j} = \omega_j \hat{\varphi}'_{i_1}(\hat{\xi}_{j_1}) \delta_{i_2,j_2} \delta_{i_3,j_3}$$

- Présence de  $\delta_{i_2,j_2} \delta_{i_3,j_3} \Rightarrow$  matrice élémentaire de  $R_h$  creuse.
- Matrice  $R_h$  pleine dans le cas des tétraèdres (pas de tensorisation)

$\Rightarrow$  Gain en temps de calcul du produit matrice vecteur  $Y = K_h X$

# Calcul pratique

- Méthode de **Newton-Fourier** pour calculer les points de **Gauss-Lobatto** à n'importe quel ordre  
cf **P. N. Swarztrauber**, SIAM (2002)



# Calcul pratique

- Méthode de **Newton-Fourier** pour calculer les points de **Gauss-Lobatto** à n'importe quel ordre  
cf **P. N. Swarztrauber**, SIAM (2002)
- Utilisation des **expressions analytiques** des fonctions de base, expressions génériques selon l'ordre

# Calcul pratique

- Méthode de **Newton-Fourier** pour calculer les points de **Gauss-Lobatto** à n'importe quel ordre  
cf **P. N. Swarztrauber**, SIAM (2002)
- Utilisation des **expressions analytiques** des fonctions de base, expressions génériques selon l'ordre
- Utilisation du **stockage morse** pour la matrice élémentaire  $R_h$

# Numérotation locale et globale

Données du maillage :

- Sommets (coordonnées)
- Hexaèdres (numéros des 8 sommets pour chaque hexaèdre)

# Numérotation locale et globale

Données du maillage :

- Sommets (coordonnées)
- Hexaèdres (numéros des 8 sommets pour chaque hexaèdre)

Utilisation d'algorithmes optimaux de recherche d'arêtes et de faces (cf [F. Hecht \(\\*\)](#) )

# Numérotation locale et globale

Données du maillage :

- Sommets (coordonnées)
- Hexaèdres (numéros des 8 sommets pour chaque hexaèdre)

Utilisation d'algorithmes optimaux de recherche d'arêtes et de faces (cf [F. Hecht \(\\*\)](#) )

Numérotation des ddl, dans l'ordre :

- ddl sur les sommets

# Numérotation locale et globale

Données du maillage :

- Sommets (coordonnées)
- Hexaèdres (numéros des 8 sommets pour chaque hexaèdre)

Utilisation d'algorithmes optimaux de recherche d'arêtes et de faces (cf [F. Hecht \(\\*\)](#) )

Numérotation des ddl, dans l'ordre :

- ddl sur les sommets
- ddl sur les arêtes, puis sur les faces (\*)

# Numérotation locale et globale

Données du maillage :

- Sommets (coordonnées)
- Hexaèdres (numéros des 8 sommets pour chaque hexaèdre)

Utilisation d'algorithmes optimaux de recherche d'arêtes et de faces (cf [F. Hecht \(\\*\)](#) )

Numérotation des ddl, dans l'ordre :

- ddl sur les sommets
- ddl sur les arêtes, puis sur les faces (\*)
- ddl internes

$lg(e,i)$  associe au  $i$ ème ddl de l'élément  $e$ , le numéro global du ddl.

# Algorithme du produit matrice-vecteur

$$Y = 0$$

Pour  $e = 1$ , nombre d'hexaèdres du maillage



# Algorithme du produit matrice-vecteur

$Y = 0$

Pour  $e = 1$ , nombre d'hexaèdres du maillage

Pour  $i = 1, (r + 1)^3$

$U_{\text{local}}(i) = U_{\text{global}}(I_{\text{g}}(e,i))$

Fin Pour

# Algorithme du produit matrice-vecteur

$Y = 0$

Pour  $e = 1$ , nombre d'hexaèdres du maillage

Pour  $i = 1, (r + 1)^3$

$U_{\text{local}}(i) = U_{\text{global}}(I_g(e,i))$

Fin Pour

// produit matrice-vecteur creux standard

$V_{\text{local}} = R_h * U_{\text{local}}$

# Algorithme du produit matrice-vecteur

$Y = 0$

Pour  $e = 1$ , nombre d'hexaèdres du maillage

Pour  $i = 1, (r + 1)^3$

$U_{\text{local}}(i) = U_{\text{global}}(I_g(e,i))$

Fin Pour

// produit matrice-vecteur creux standard

$V_{\text{local}} = R_h * U_{\text{local}}$

// produit par la matrice diagonale par blocs  $B_h^{-1}$

Pour  $i = 1, (r + 1)^3$

Pour  $j = 1, 3$

$V(j) = V_{\text{local}}(3*(i-1) + j)$

# Algorithme du produit matrice-vecteur

// produit matrice-vecteur creux standard

$$V_{\text{local}} = R_h * U_{\text{local}}$$

// produit par la matrice diagonale par blocs  $B_h^{-1}$

Pour  $i = 1, (r + 1)^3$

    Pour  $j = 1, 3$

$$V(j) = V_{\text{local}}(3*(i-1) + j)$$

$$B_h^{-1} V = B_h^{-1}(e, i) * V$$

    Pour  $j = 1, 3$

$$V_{\text{local}}(3*(i-1) + j) = B_h^{-1} V(j)$$

Fin Pour

# Algorithme du produit matrice-vecteur

// produit par la matrice diagonale par blocs  $B_h^{-1}$

Pour  $i = 1, (r + 1)^3$

Pour  $j = 1, 3$

$$V(j) = \text{Vlocal}(3*(i-1) + j)$$

$$B_h^{-1} \_V = B_h^{-1}(e, i) * V$$

Pour  $j = 1, 3$

$$\text{Vlocal}(3*(i-1) + j) = B_h^{-1} \_V(j)$$

Fin Pour

// produit matrice-vecteur creux standard

$$U_{\text{local}} = R_h^t * V_{\text{local}}$$

# Algorithme du produit matrice-vecteur

$$B_h^{-1} V = B_h^{-1}(e, i) * V$$

Pour  $j = 1, 3$

$$V_{\text{local}}(3*(i-1) + j) = B_h^{-1} V(j)$$

Fin Pour

// produit matrice-vecteur creux standard

$$U_{\text{local}} = R_h^t * V_{\text{local}}$$

Pour  $i = 1, (r + 1)^3$

$$Y(\text{lg}(e, i)) += U_{\text{local}}(i)$$

Fin Pour

Fin boucle éléments

# Application de l'algorithme

En régime transitoire, itérations en temps :

$$D_h \left( \frac{U^{n+1} - 2U^n + U^{n-1}}{\Delta t^2} \right) + K_h U^n = F^n$$

# Application de l'algorithme

En régime transitoire, itérations en temps :

$$D_h \left( \frac{U^{n+1} - 2U^n + U^{n-1}}{\Delta t^2} \right) + K_h U^n = F^n$$

- Utilisation du produit matrice-vecteur à chaque itération



# Application de l'algorithme

En régime transitoire, itérations en temps :

$$D_h \left( \frac{U^{n+1} - 2U^n + U^{n-1}}{\Delta t^2} \right) + K_h U^n = F^n$$

- Utilisation du produit matrice-vecteur à chaque itération

En régime harmonique, résolution d'un système linéaire :

$$-\omega^2 D_h U + K_h U = F$$

# Application de l'algorithme

En régime transitoire, itérations en temps :

$$D_h \left( \frac{U^{n+1} - 2U^n + U^{n-1}}{\Delta t^2} \right) + K_h U^n = F^n$$

- Utilisation du produit matrice-vecteur à chaque itération

En régime harmonique, résolution d'un système linéaire :

$$-\omega^2 D_h U + K_h U = F$$

- Solveur itératif : utilisation du produit matrice-vecteur

# Application de l'algorithme

En régime transitoire, itérations en temps :

$$D_h \left( \frac{U^{n+1} - 2U^n + U^{n-1}}{\Delta t^2} \right) + K_h U^n = F^n$$

- Utilisation du produit matrice-vecteur à chaque itération

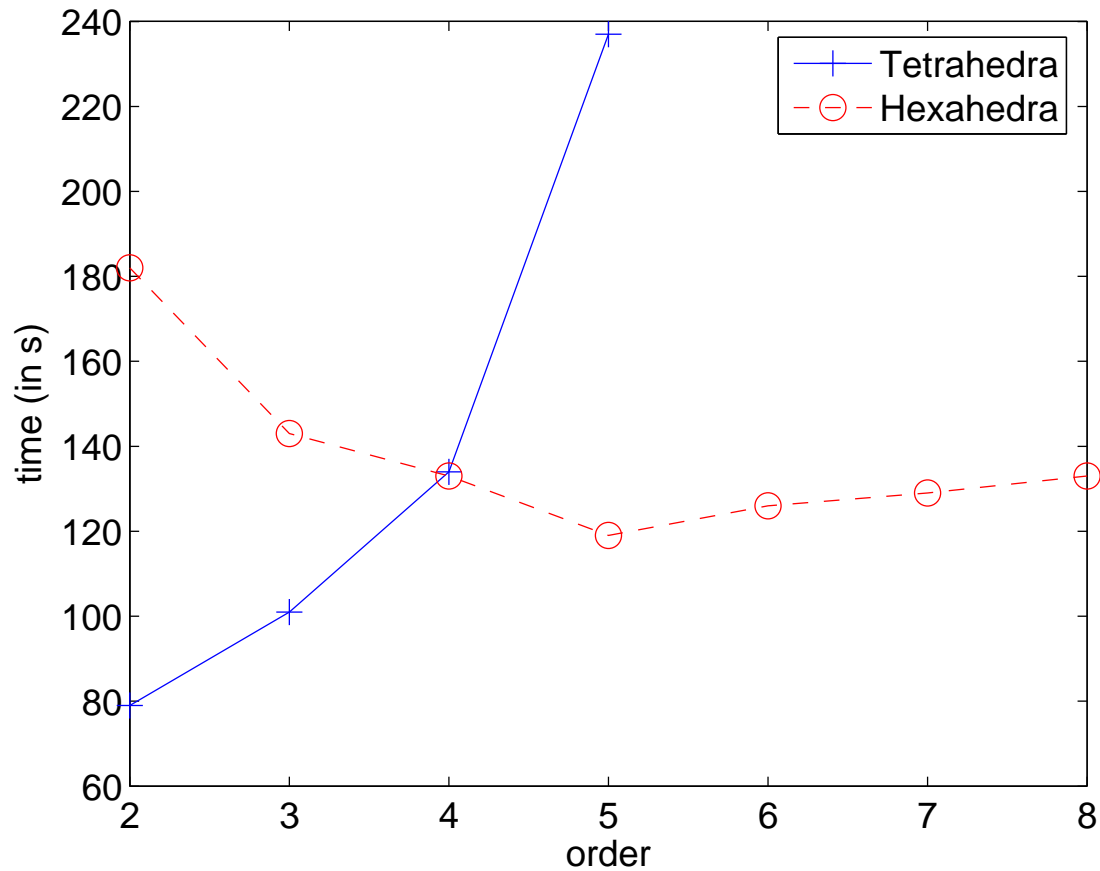
En régime harmonique, résolution d'un système linéaire :

$$-\omega^2 D_h U + K_h U = F$$

- Solveur itératif : utilisation du produit matrice-vecteur

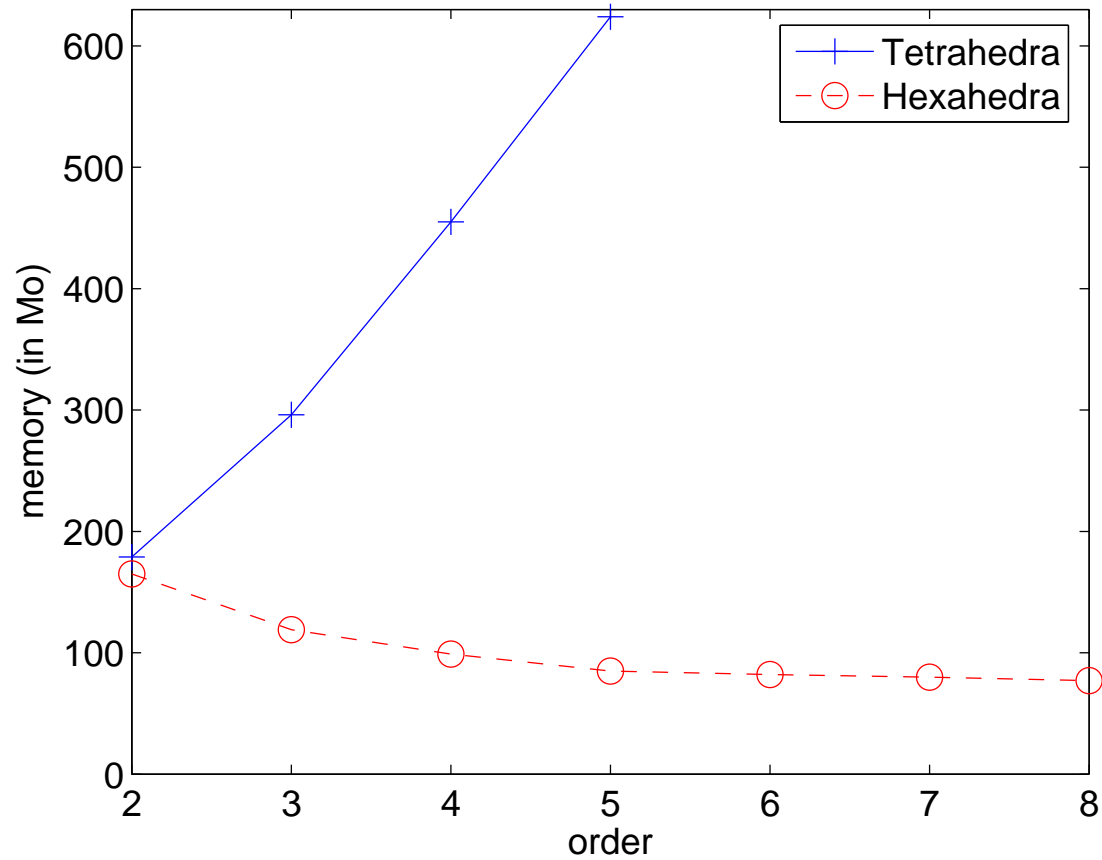
Remarque : pour un solveur direct, assemblage classique

# Temps de calcul



Temps de calcul pour 100 produits matrice vecteur  
Nombre de ddl constant (environ 1 million)

# Stockage



Mémoire utilisée pour stocker la matrice  
Nombre de ddl constant (environ 1 million)

# Validation sur le cas de la sphère

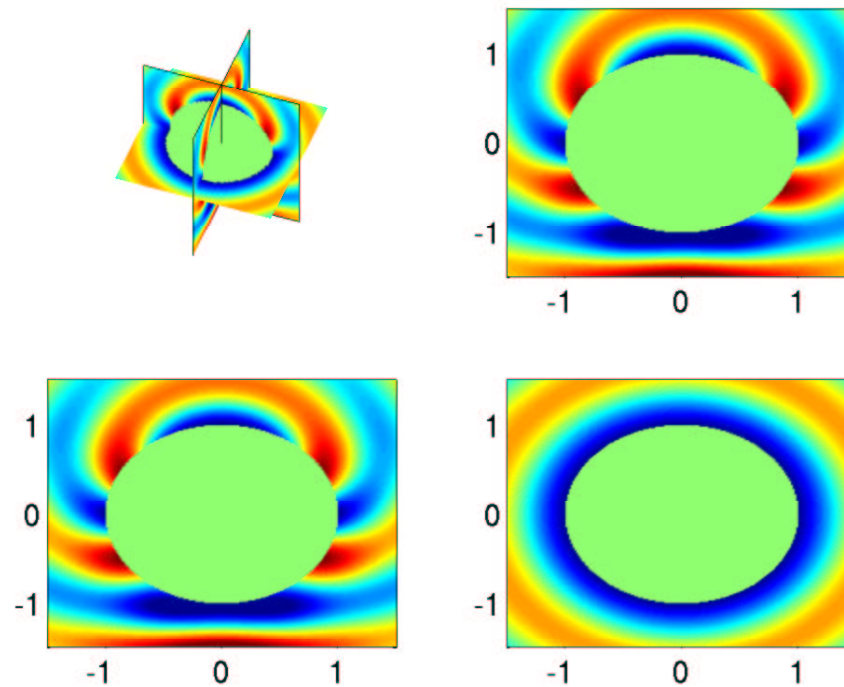
Frontière intérieure  $\Gamma$  = sphère de rayon  $a$

Frontière extérieure  $\Sigma$  = sphère de rayon  $b$

# Validation sur le cas de la sphère

Frontière intérieure  $\Gamma$  = sphère de rayon  $a$

Frontière extérieure  $\Sigma$  = sphère de rayon  $b$

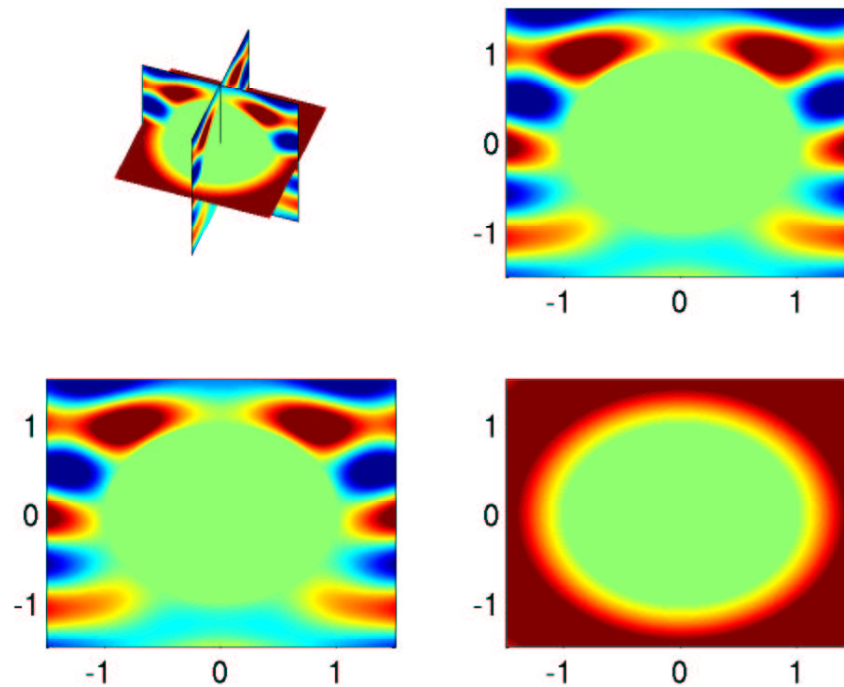


Partie réelle du champ diffracté  $a = 1.0$   $b = 1.5$

# Validation sur le cas de la sphère

Frontière intérieure  $\Gamma$  = sphère de rayon  $a$

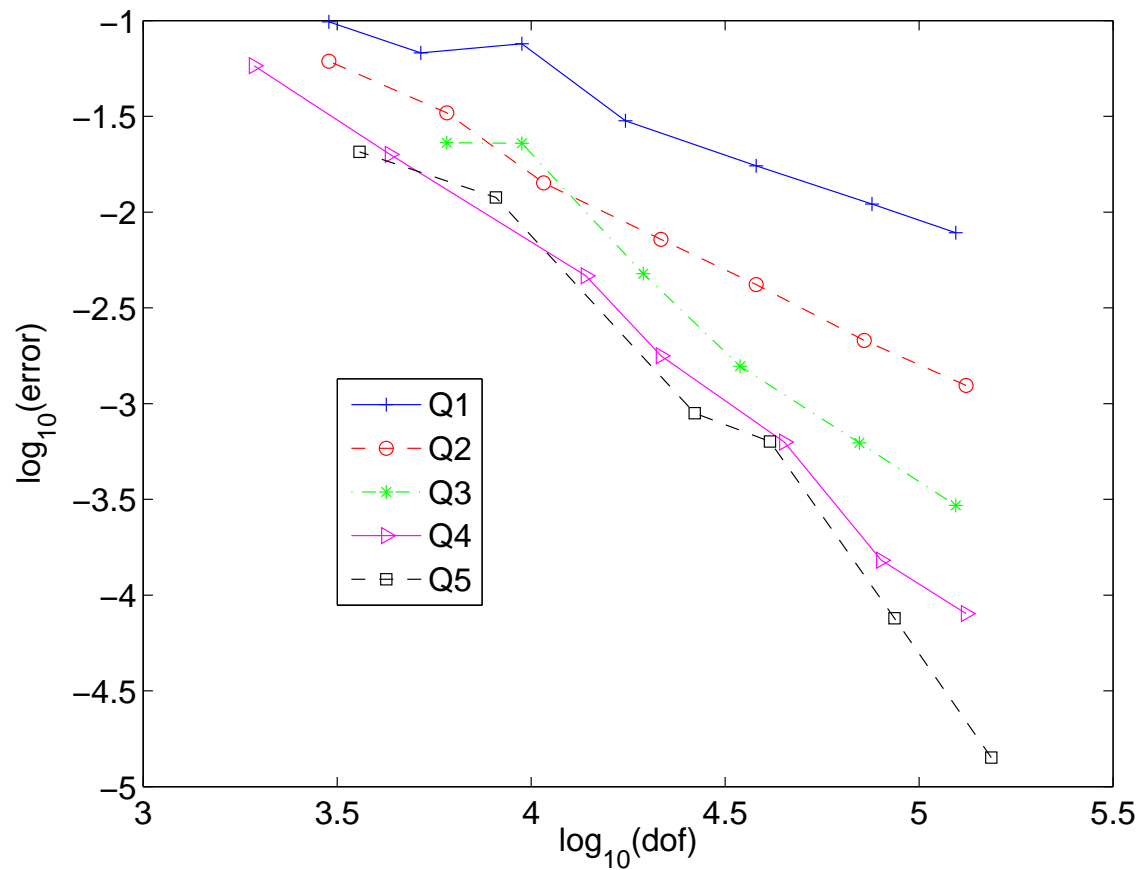
Frontière extérieure  $\Sigma$  = sphère de rayon  $b$



Partie réelle du champ total  $a = 1.0$   $b = 1.5$

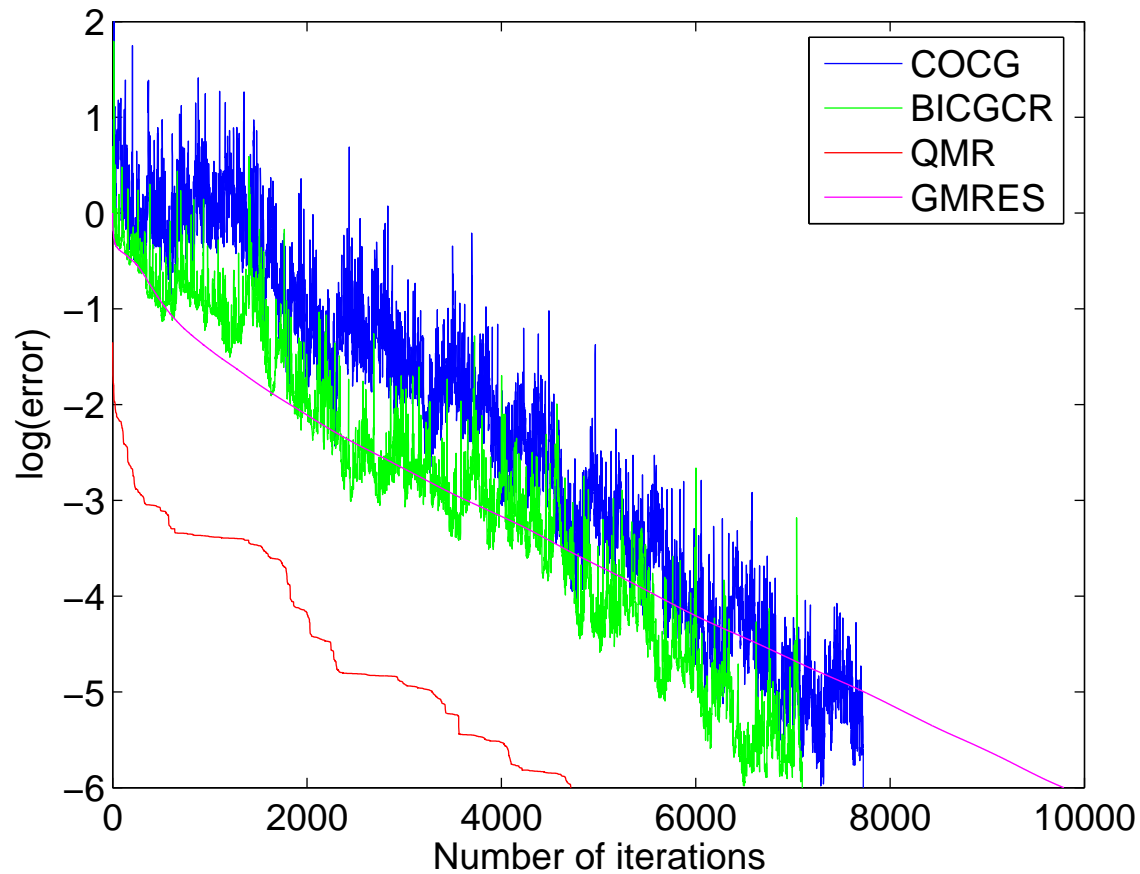


# Convergence en fonction de l'ordre



Evolution de l'erreur  $L^2$  en fonction du nombre de ddl, échelle log-log.  
Utilisation d'éléments finis courbes.

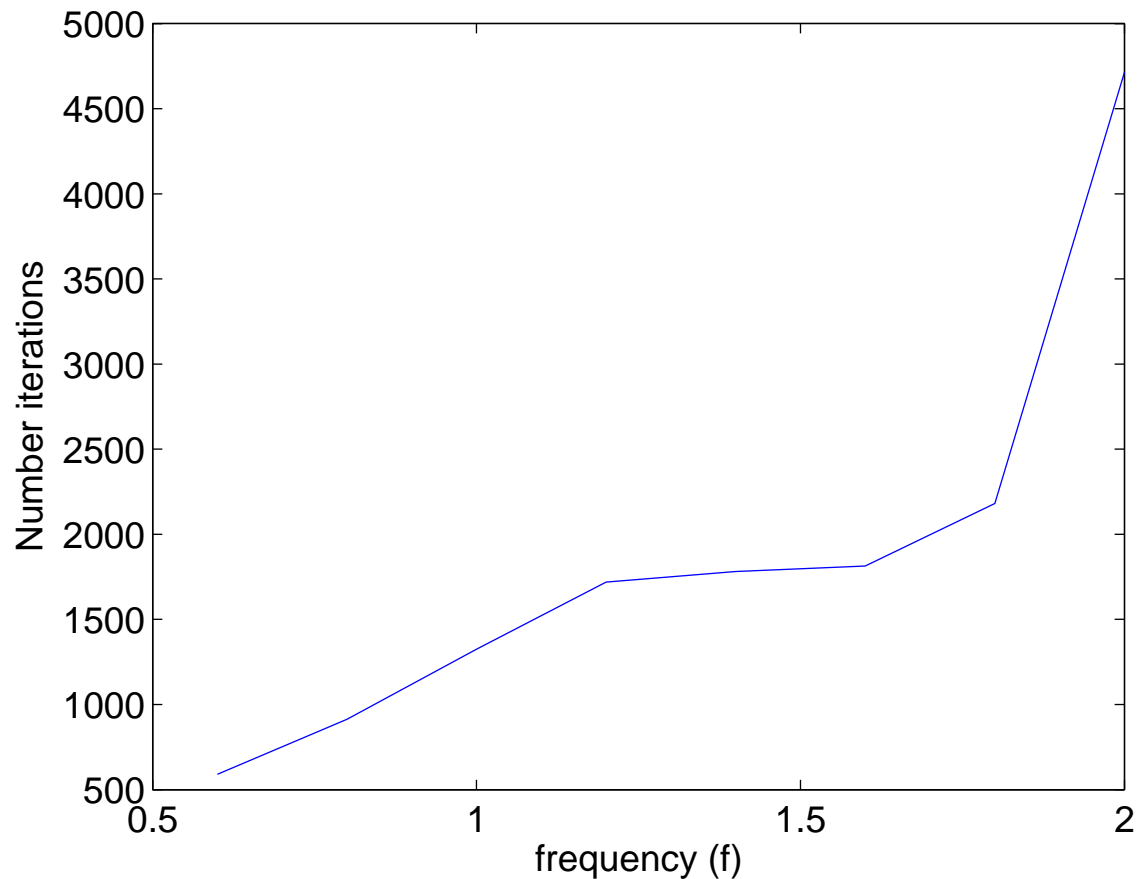
# Choix du solveur itératif



Evolution du résidu relatif en fonction du solveur utilisé

Cas haute-fréquence  $a = 10$   $b = 12$

# Influence de la fréquence



Nombre d'itérations en fonction de la fréquence (solveur QMR)  
Nombre de ddl constant (environ 1,1 million)

# Préconditionneur utilisé

Méthode de **Schwarz** additive sans recouvrement

# Préconditionneur utilisé

Méthode de **Schwarz** additive sans recouvrement

Décomposition en sous-domaines  $\Omega = \bigcup_{i=1}^{N_s} \Omega_i$

# Préconditionneur utilisé

Méthode de **Schwarz** additive sans recouvrement

Décomposition en sous-domaines  $\Omega = \bigcup_{i=1}^{N_s} \Omega_i$

$$M^{-1} = \sum_{i=1}^{N_s} P_i A_i^{-1} P_i^t$$

## Préconditionneur utilisé

Méthode de **Schwarz** additive sans recouvrement

Décomposition en sous-domaines  $\Omega = \bigcup_{i=1}^{N_s} \Omega_i$

$$M^{-1} = \sum_{i=1}^{N_s} P_i A_i^{-1} P_i^t$$

$P_i$ , opérateur de projection de  $\Omega_i$  vers  $\Omega$

$A_i$  matrice élément fini de  $\Omega_i$

## Préconditionneur utilisé

Méthode de **Schwarz** additive sans recouvrement

Décomposition en sous-domaines  $\Omega = \bigcup_{i=1}^{N_s} \Omega_i$

$$M^{-1} = \sum_{i=1}^{N_s} P_i A_i^{-1} P_i^t$$

$P_i$ , opérateur de projection de  $\Omega_i$  vers  $\Omega$

$A_i$  matrice élément fini de  $\Omega_i$

Condition absorbante d'ordre 1 sur les frontières internes des sous-domaines



## Préconditionneur utilisé

Méthode de **Schwarz** additive sans recouvrement

Décomposition en sous-domaines  $\Omega = \bigcup_{i=1}^{N_s} \Omega_i$

$$M^{-1} = \sum_{i=1}^{N_s} P_i A_i^{-1} P_i^t$$

$P_i$ , opérateur de projection de  $\Omega_i$  vers  $\Omega$

$A_i$  matrice élément fini de  $\Omega_i$

Condition absorbante d'ordre 1 sur les frontières internes des sous-domaines

Factorisation des matrices  $A_i$  à l'aide d'un solveur direct (**MUMPS**)

# Performances avec préconditionneur

Cas moyenne fréquence  $a = 5$   $b = 6$ , 170 000 ddl environ

## Performances avec préconditionneur

Cas moyenne fréquence  $a = 5$   $b = 6$ , 170 000 ddl environ  
**QMR** sans préconditionneur, tolérance de  $10^{-6}$

Ordre	$Q3$	$Q5$	$Q7$
Nombre itérations	585	826	1305
Temps	128s	154s	244s

## Performances avec préconditionneur

Cas moyenne fréquence  $a = 5$   $b = 6$ , 170 000 ddl environ  
**QMR** sans préconditionneur, tolérance de  $10^{-6}$

Ordre	$Q3$	$Q5$	$Q7$
Nombre itérations	585	826	1305
Temps	128s	154s	244s

**COCG** avec préconditionneur ( $N_s = 26$ ), tolérance de  $10^{-5}$

Ordre	$Q3$	$Q5$	$Q7$
Nombre itérations	91	110	199
Temps	75s	89s	230s